

С.Д. Винников, Ю.В. Шарина

**РАСЧЕТ НЕУСТАНОВИВШЕГОСЯ ДВИЖЕНИЯ
ПОТОКА ВОДЫ В РЕКЕ**

S.D. Vinnikov, Y.V. Sharina

**CALCULATION OF THE UNSTEADY FLOW
OF WATER IN THE RIVER**

Уточняется запись гидродинамического уравнения системы Сен-Венана. Выполняется пример расчета одномерного неустановившегося движения потока воды в канале с использованием уточненного уравнения.

Ключевые слова: неустановившийся поток, уравнения Сен-Венана, расчёт неустановившегося потока.

The record of Saint-Venant's hydrodynamical equation is specified here. An improved equation is used for an example of calculating one-dimensional unsteady flow regime of water in a canal.

Key words: unsteady flow, the Saint-Venant's equations, the calculation of unsteady flow.

Введение

В настоящее время разработанные методы расчета неустановившегося движения потока в реке или канале, в основе которых лежат уравнения системы Сен-Венана (гидродинамическое уравнение движения и уравнение неразрывности), являются приближенными. Это обусловлено исключением из рассмотрения одного из слагаемых гидродинамического уравнения, учитывающих силу инерции. При полном исключении этих слагаемых приходим к уравнению Шези, описывающему равномерное движение. Но рассматриваемое движение, как нам известно, не является таковым. Следовательно, при решении задачи о неустановившемся движении потока упрощать гидродинамическое уравнение упомянутой системы не следует.

Исследование обозначенной проблемы привело авторов настоящей работы к уточнению написания этого уравнения, что, в свою очередь, позволило осуществить его использование без упрощения. Перейдём к обоснованию гидродинамического уравнения Сен-Венана в новой его записи.

**Вывод гидродинамического уравнения движения жидкости
Сен-Венана в новой его записи**

Запишем следующее уравнение баланса сил в случае неустановившегося движения потока в реке (канале) при одномерной задаче, в котором слагаемые являются проекциями сил на ось x :

$$P = F + T_p, \tag{1}$$

где P – сила тяжести, действующая на воду массой m ; F – сила инерции этой массы; T_p – сила трения потока воды о дно и берега реки при его равномерном движении. Силой трения потока жидкости о воздух атмосферы в (1) пренебрегаем.

Выразим слагаемые в (1) по соответствующим формулам:

$$P = mgI, \tag{2}$$

$$F = ma = m \frac{dv_v}{dt} = m \left(\frac{\partial v_v}{\partial t} + v_v \frac{\partial v_v}{\partial x} \right), \tag{3}$$

$$T_p = mgi_p = mg \frac{v_p^2}{C^2 H}, \tag{4}$$

где g – ускорение свободного падения; I и i_p – уклон свободной водной поверхности потока при неустановившемся и равномерном его движениях; $a = \frac{dv_v}{dt}$ – полное ускорение (локальное и конвективное) движения жидкости; v_v и v_p – дополнительная скорость потока при неустановившемся и скорость потока при равномерном его движениях; C – коэффициент Шези; H – глубина потока. Дополнительная скорость потока v_v – это разность полной скорости потока v , наблюдающейся при неустановившемся движении, и скорости v_p , наблюдающейся при его равномерном движении при одной и той же глубине потока H_k (рис. 1):

$$v_v = \pm(v_{п,с} - v_p),$$

где $v_{п}$ и $v_{с}$ – скорости потока при подъеме и спаде уровня воды. Если $v_v \rightarrow 0$, то окажемся на кривой равномерного движения потока 1.

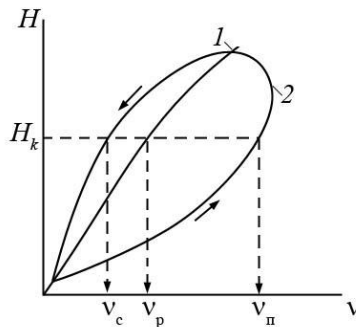


Рис. 1. Кривые средней скорости в створе реки при равномерном (1) и неустановившемся (2) движениях потока воды; $v_{п}$ и $v_{с}$ – скорости потока при подъеме и спаде уровня воды в реке; v_p – скорость потока при его равномерном движении

Отметим здесь, что, используя уникальные измерения гидравлических характеристик, выполненных Государственным гидрологическим институтом на р. Тверце при попусках из Новотверецкого водохранилища [3], нам удалось [1] установить эмпирическую зависимость дополнительной скорости v_v с уклоном водной поверхности потока:

$$v_v = \alpha_{п,с} i_p \Delta I, \quad (5)$$

где $\alpha_{п} = 1,3 \cdot 10^7$ м/с и $\alpha_{с} = 2,3 \cdot 10^7$ м/с – коэффициенты, применяемые при расчете скорости v_v для периода подъема и соответственно периода спада уровня воды при петлеобразной кривой скоростей; $\Delta I = I - i_p$ при глубине потока H_k .

Скорость v_v , обусловленная силой инерции, названа нами скоростью движения линии следования постоянной данной скорости течения воды в реке v и определяется она на графике $v = f(x, t)$ как тангенс угла наклона этой изолинии в створе на расстоянии x к оси времени t : $v_v = \frac{dx}{dt} = \operatorname{tg} \varphi$ (рис. 2) [5]. Она характеризует скорость перемещения выбранной скорости потока v вдоль оси x .

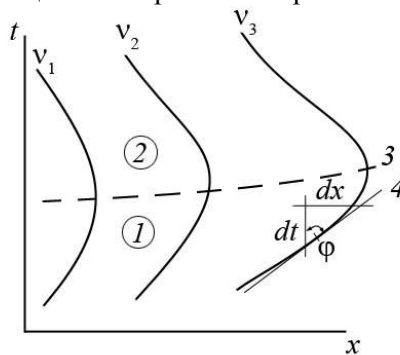


Рис. 2. Линии следования постоянной скорости течения воды в реке: $v_1, v_2 \dots v_i$; цифры 1 и 2 соответствуют периодам подъема и спада уровня воды в реке; 3 – линия, соединяющая точки перегиба изолиний скорости. В точках перегиба изолиний скорости касательная 4 к ним параллельна оси времени t , что соответствует наступлению равномерного движения потока

Если теперь решим совместно зависимости (1) – (4), то получим гидродинамическое уравнение движения жидкости в новой его записи, характеризующее кривую скоростей 2 на рис. 1:

$$I = \frac{1}{g} \frac{\partial v_v}{\partial t} + \frac{v_v}{g} \frac{\partial v_v}{\partial x} + \frac{v_p^2}{C^2 H}. \quad (6)$$

Перейдя в (6) к уклонам, получим:

$$I = \Delta I + i_p. \quad (7)$$

Выполнив анализ (7), приходим к выводу, что уклон I обуславливает скорость потока v , уклон i_p – скорость потока v_p , а разность этих уклонов $\Delta I \sim \Delta v = v - v_p = v_v$. То есть, дополнительная скорость v_v обусловлена силой, равной разности сил тяжести P и трения T_p , упомянутых выше. В связи с этим можем утверждать, что задача о неустановившемся движении воды в реке состоит из двух решений: 1) из решения определения скорости течения при равномерном движении потока v_p , определяемой через уклон дна реки, и 2) из решения определения скорости течения при неустановившемся движении потока v_v , определяемой через разность уклонов водной поверхности при неустановившемся и равномерном движениях воды в реке: $v = v_p \pm v_v$.

Присоединим к уравнению (6) уравнение неразрывности в виде

$$\frac{\partial z}{\partial t} + H \frac{\partial v}{\partial x} + v \frac{\partial H}{\partial x} = 0, \quad (8)$$

в котором z – отметка поверхности воды в створе реки.

Теперь, учитывая, что $v = v_p + v_v$, преобразуем второе слагаемое в (8), тогда это уравнение примет вид:

$$\frac{\partial z}{\partial t} = - \left[H \left(\frac{\partial v_p}{\partial x} + \frac{\partial v_v}{\partial x} \right) + v \frac{\partial H}{\partial x} \right]. \quad (9)$$

Совместное решение (6), (7) и (9) при исключении $\frac{\partial v_v}{\partial x}$ дает уравнение

$$\frac{\partial z}{\partial t} = \frac{H}{v_v} \frac{\partial v_v}{\partial t} - H \frac{\partial v_p}{\partial x} - \frac{Hg}{v_v} \Delta I - v \frac{\partial H}{\partial x}, \quad (10)$$

позволяющее рассчитать отметки свободной поверхности потока воды в реке при его неустановившемся движении.

Исходные данные для расчета неустановившегося движения воды в прямолинейном канале

Так как расчет неустановившегося движения по уравнению (10) выполняется впервые, рассмотрим его для наиболее простого случая.

Расчет урванного режима выполним для широкого прямолинейного канала длиной $L = 300$ км при уклоне дна $i = 0,1$ ‰ и коэффициенте шероховатости $n = 0,02$. Вычисления будем вести в расчете на 1 м ширины потока.

Начальные условия – отметки свободной поверхности при $t = 0$ зададим зависимостью

$$z = 100 - 0,0001x, \quad (11)$$

где x – расстояние от начального створа в метрах; 100 – отметка поверхности воды в начальном створе в метрах.

Из этой зависимости следует, что в начальный момент времени глубина потока H по всей длине постоянная ($H = H_0 = \text{const}$). Отсюда также следует, что уклоны дна и свободной поверхности положительны и равны между собой. Глубина в начальном створе принята равной $H_0 = 5$ м.

Граничные условия зададим соответственно в начальном и конечном сечениях участка канала:

1) суточным колебанием уровня воды в начальном створе по синусоиде вида:

$$z_0 = 100 - 2,25 \sin \frac{\pi}{12} t, \quad (12)$$

2) неизменным уровнем воды в конечном створе

$$z_L = \text{const}, \quad (13)$$

где z_0 и z_L – отметки свободной поверхности воды в начальном и конечном створах; t – время, ч.

Условие (13) означает, что глубина в конце канала во времени не меняется. Это может, например, соответствовать случаю впадения канала в водохранилище.

Конечно-разностная аппроксимация уравнения, описывающего трансформацию волны попуска

Для расчета трансформации волны попуска описываемой зависимостью (10) применим метод сеток. Для этого дифференциальное уравнение (10) заменим конечно-разностным уравнением, при этом учитывая, что $v_v = \Delta v = v - v_p$, тогда получим:

$$\Delta z = H \left(1 - \frac{\Delta v_p}{\Delta x} \Delta t - \frac{g}{v_v} \Delta t \Delta t - \frac{v}{H} \frac{\Delta H}{\Delta x} \Delta t \right), \quad (14)$$

где скорость при равномерном движении потока v_p будем определять по формуле Шези, а коэффициент Шези C – по формуле Маннинга; Δt – время, за которое происходит изменение скорости в гидростворе от значения v_p при равномерном движении до значения v при неустановившемся движении потока. Скорость перемещения v_v линии следования постоянной скорости течения v рекомендуется определять по формуле (5), полученной с использованием натуральных экспериментальных данных по р. Тверце.

Теперь запишем уравнение (14) для расчета по конечно-разностной схеме. Расчет будем вести по схеме «правый нижний уголок»:

$$z_{i,j+1} = z_{i,j} + H_{i,j} \left(1 - \frac{(v_{pi,j} - v_{pi-1,j}) \Delta t}{\Delta x} - \frac{g}{v_{vi,j}} \Delta t_{i,j} \Delta t - \frac{v_{i,j}}{H_{i,j}} \frac{(H_{i,j} - H_{i-1,j})}{\Delta x} \Delta t \right), \quad (15)$$

где Δx и Δt – шаги по длине потока и по времени.

Для устойчивости решения в случае отсутствия в уравнении (6) слагаемого, учитывающего силу трения, необходимо соблюдать соотношение шагов по времени и по продольной координате [5]:

$$\frac{v_v \Delta t}{\Delta x} \leq 1. \quad (16)$$

Для определения шагов в данном случае, когда учитывается в этом уравнении сила трения, используются в расчетах следующие формулы:

$$\Delta x = \frac{v_v^2}{g \Delta I}, \quad (17)$$

$$\Delta t = \frac{v_v}{g \Delta I} \quad (18)$$

или с учетом (5)

$$\Delta t = \frac{\alpha_{п,с} i_p}{g}. \quad (19)$$

Отметим, что совместное решение (17) и (18) приводит к условию (16).

Выражения (17) и (18), предназначенные для определения шагов Δx и Δt , относительно приближённые. Это мы увидим, если решим (6) с учётом (5) и (7) относительно шагов Δx или Δt , например, относительно шага по времени:

$$\Delta t = \frac{\alpha_{п,с} i_p \Delta I}{g \Delta I - v_v \frac{\partial v_v}{\partial x}}. \quad (20)$$

Исключив в (20) второе слагаемое в знаменателе, как пренебрежимо малую величину, придём к выражению (19).

Разработка программы для расчета неустановившегося движения воды в прямолинейном канале*

Программа для расчета по уравнению (15) разработана нами с использованием языка C++.

С целью перевода математического языка на язык машины был разработан алгоритм, в котором отображены шаги (17) и (18), необходимые для расчета по этому уравнению.

Для расчетов по уравнению (15) величина шага по длине была принята равной 1000 м, согласно (15) и (16). Из предварительных расчетов по формуле (19) стало известно, что величина шага по времени Δt в нашем случае принимает значение 0,0651 ч (3,91 мин).

* Авторы выражают благодарность доценту кафедры гидрофизики и гидропрогнозов университета Е. В. Гайдуковой за оказанную помощь в разработке программы данной задачи.

Результаты расчета представлены на рис. 3 ходом уровня воды во времени в различных створах канала и продольными профилями водной поверхности в различные моменты времени. По графикам можно проследить распластывание волны попуска.

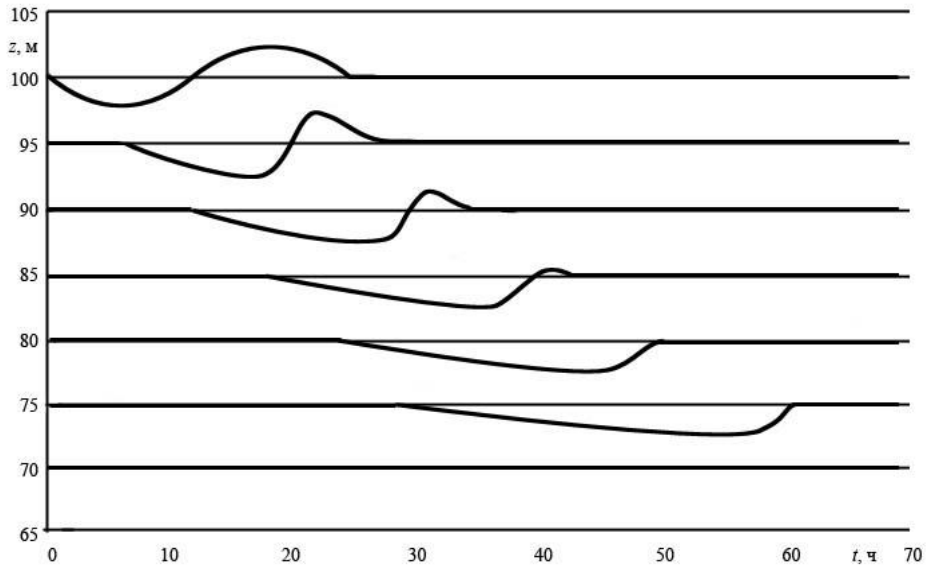
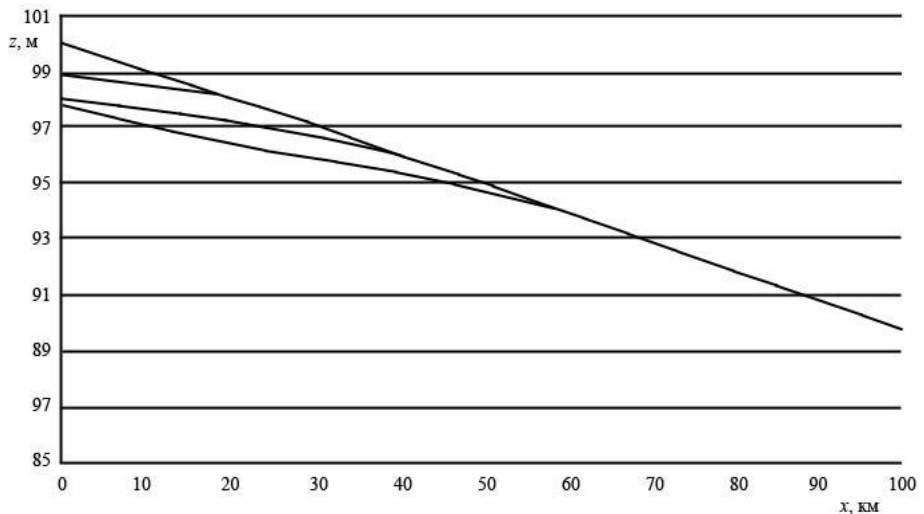
*a**б*

Рис. 3. Ход уровня воды в створах канала, расположенных на расстояниях $x = 0, 50, 100, 150, 200, 250$ км (а); отметки уровня воды по длине потока в период его спада (первые 6 ч эксперимента: 0, 2, 4, 6 ч) (б)

Таким образом, выполненные исследования показали, что гидродинамическое уравнение Сен-Венана в новом варианте записи может применяться для расчета неустановившегося движения воды в открытых потоках.

Насколько точны результаты расчета в связи с уточнением слагаемых уравнения говорить еще рано, так как метод необходимо еще совершенствовать, а сами расчеты – проверить на натурном материале. В частности, в расчетных уравнениях как старой, так и новой записи необходимо оперировать не с уклоном водной поверхности I , при котором завышается сила тяжести, а с уклоном

$$I_{\text{ср}} = \frac{I + i_{\text{д}}}{2}, \text{ где уклон дна } i_{\text{д}} = i_{\text{р}}.$$

Итак, преимущество предлагаемого метода расчета неустановившегося движения воды в реке по сравнению с существующими методами является то, что в гидродинамическом уравнении в новой его записи учитываются оба ускорения – локальное и конвективное, в то время как в других методах одним из них, а иногда даже слагаемым, учитывающим сопротивление дна реки потоку, пренебрегают [2, 4 и др.].

Литература

1. Винников С. Д. Некоторые аспекты речной гидравлики // Уч. зап. РГГМУ, 2007, № 4, с. 67-76.
2. Грушевский М. С. Неустановившееся движение воды в реках и каналах. – Л.: Гидрометеиздат, 1982. – 288 с.
3. Исследование неустановившегося движения воды на реках Тверце и Оредеж / Под ред. Н.Е. Кондратьева, В. А. Урываева. – Л.: Гидрометеиздат, 1961. – 288 с.
4. Кучмент Л. С. Модели процессов формирования речного стока. – Л.: Гидрометеиздат, 1980. – 143 с.
5. Турчак Л. И., Плотников П. В. Основы численных методов. – М.: Физматлит, 2002. – 304 с.